



Radiostrahlung der Riesenplaneten: Neue Phänomene

Helmut O. Rucker
Space Research Institute
Graz, Austria

Graz in Space 2012

Radiostrahlung der Riesenplaneten: Neue Phänomene



Helmut O. Rucker
Space Research Institute
Graz, Austria

Graz in Space 2012

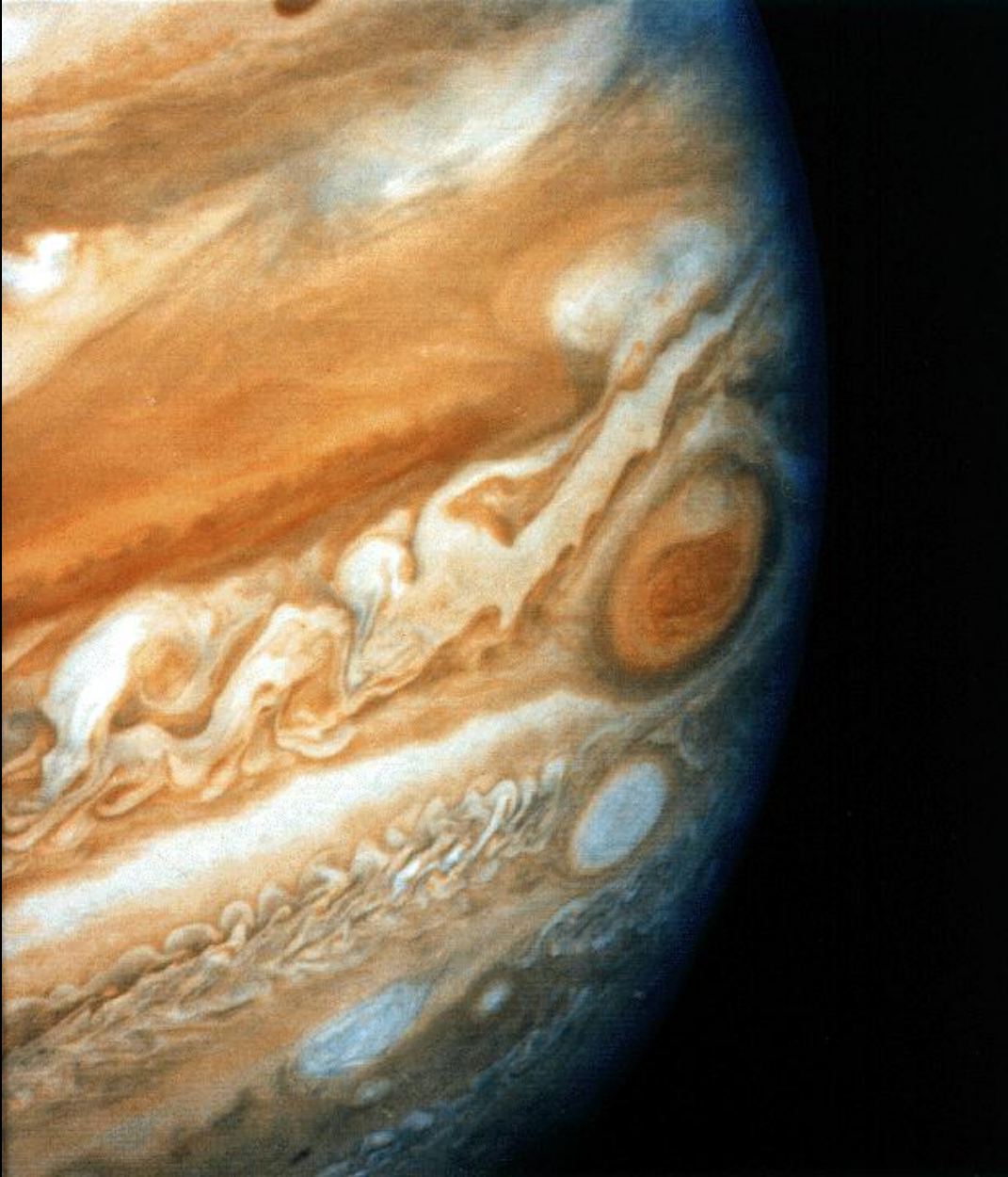
Radiostrahlung der Riesenplaneten: Neue Phänomene



Helmut O. Rucker
Space Research Institute
Graz, Austria

Graz in Space 2012

Jupiter





Größe/Radius: ~71.400 km (11 Re)

Umlaufzeit um die Sonne: ~12 Jahre

Umdrehung: 9 hr 55 min 29.7 s

Entfernung: ~ 5.2 AU

Wolkenoberflächentemperatur: -150°C

Monde: >63



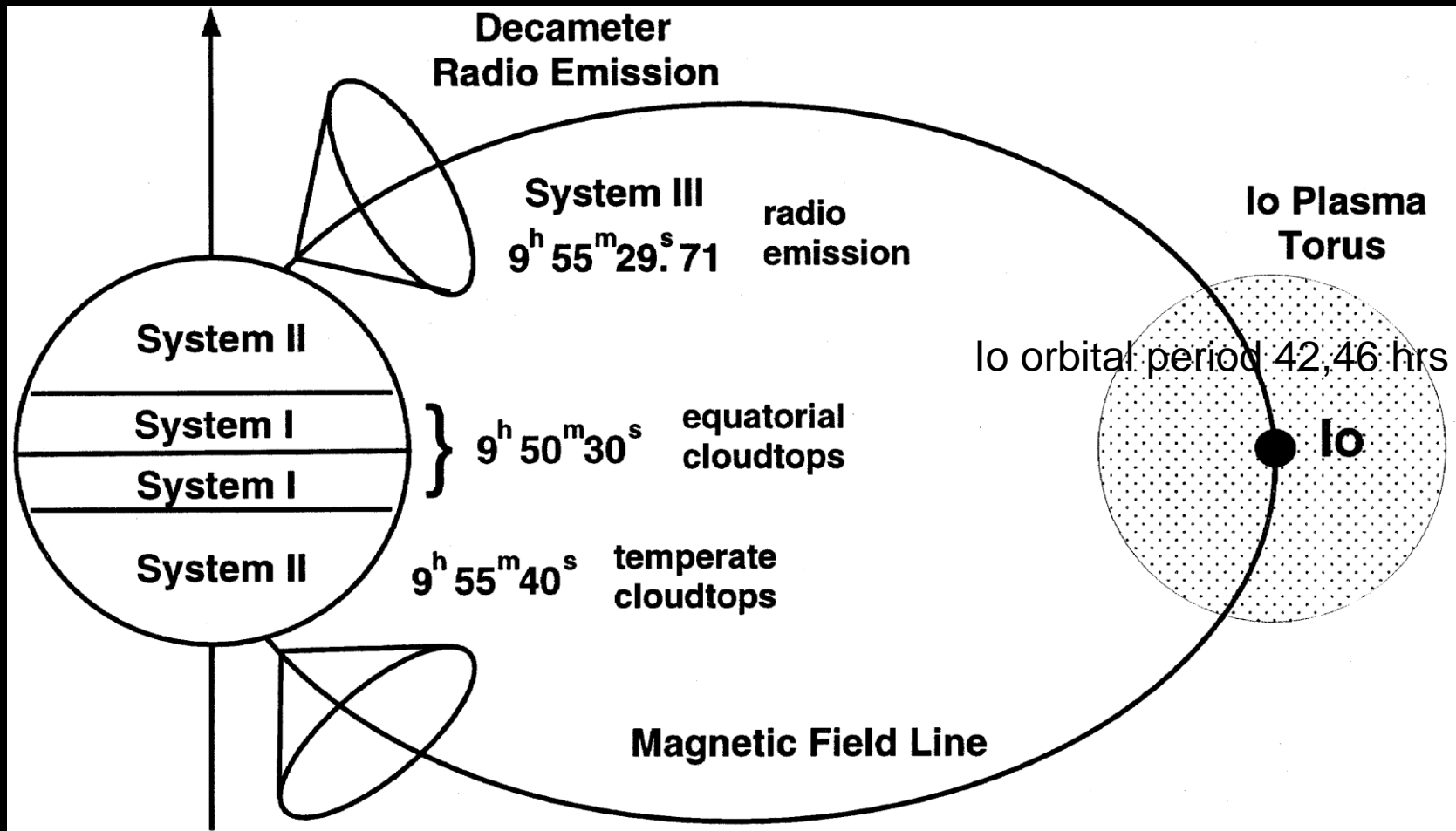
Größe/Radius: ~71.400 km (11 Re)

Umlaufzeit um die Sonne: ~12 Jahre

Umdrehung: 9 hr 55 min 29.7 s

**Rotationsperiode aus der Messung der
Jupiter Radiostrahlung
bestimmbar.**

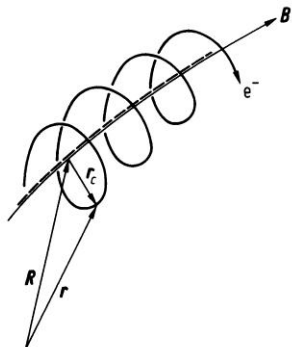
Perioden im Jupiter-System



Modulation der Radiostrahlung durch a) die Jupiter-Rotation (~ 9,92 Std.)
b) den Jupitermond Io (~ 42,5 Std.)

Fundamentale Eigenschaft der planetaren Radiostrahlung:

Nicht-thermische Radio-Emission wird generiert als Emission von
gyrierenden Elektronen in hohen Breiten magnetischer Planeten.

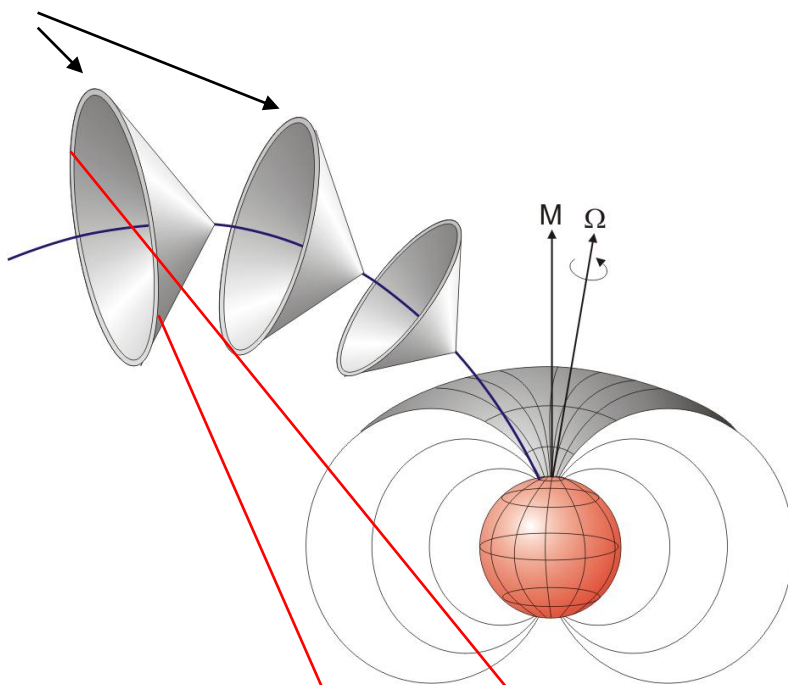


$$f \approx f_{ce}$$

$$f_{ce} = \frac{1}{2\pi} \frac{eB}{m_e}$$

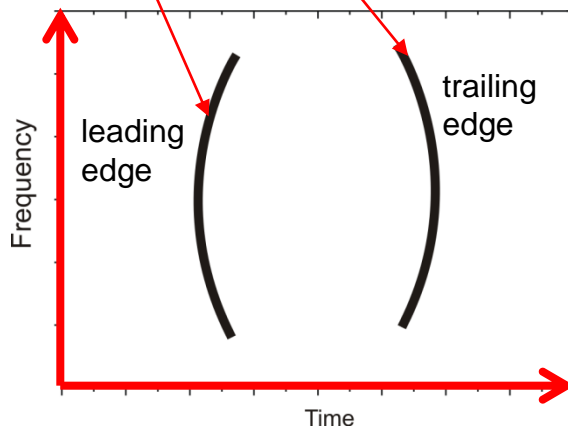
Modell der Strahlungshohlkegel

Hohlkegel bei unterschiedlichen Gyrofrequenzen



Hohlkegel verteilt entlang magnetischer Feldlinien

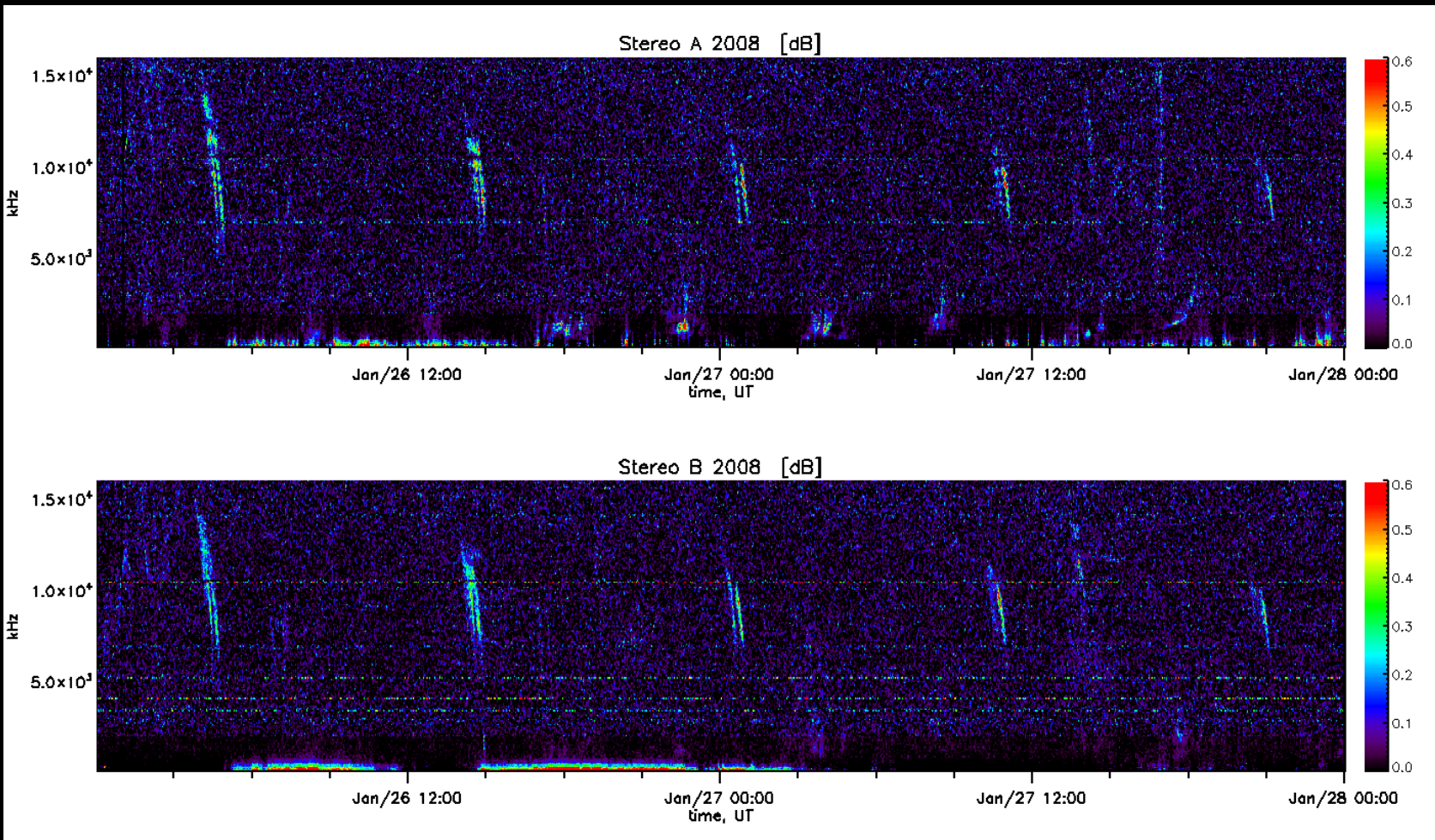
rotiert
entweder mit Jupiter-Periode (9,92 hrs)
(= non-lo emission)
oder rotiert
mit Io Flussröhre (42,5 hrs)
(= lo emission)

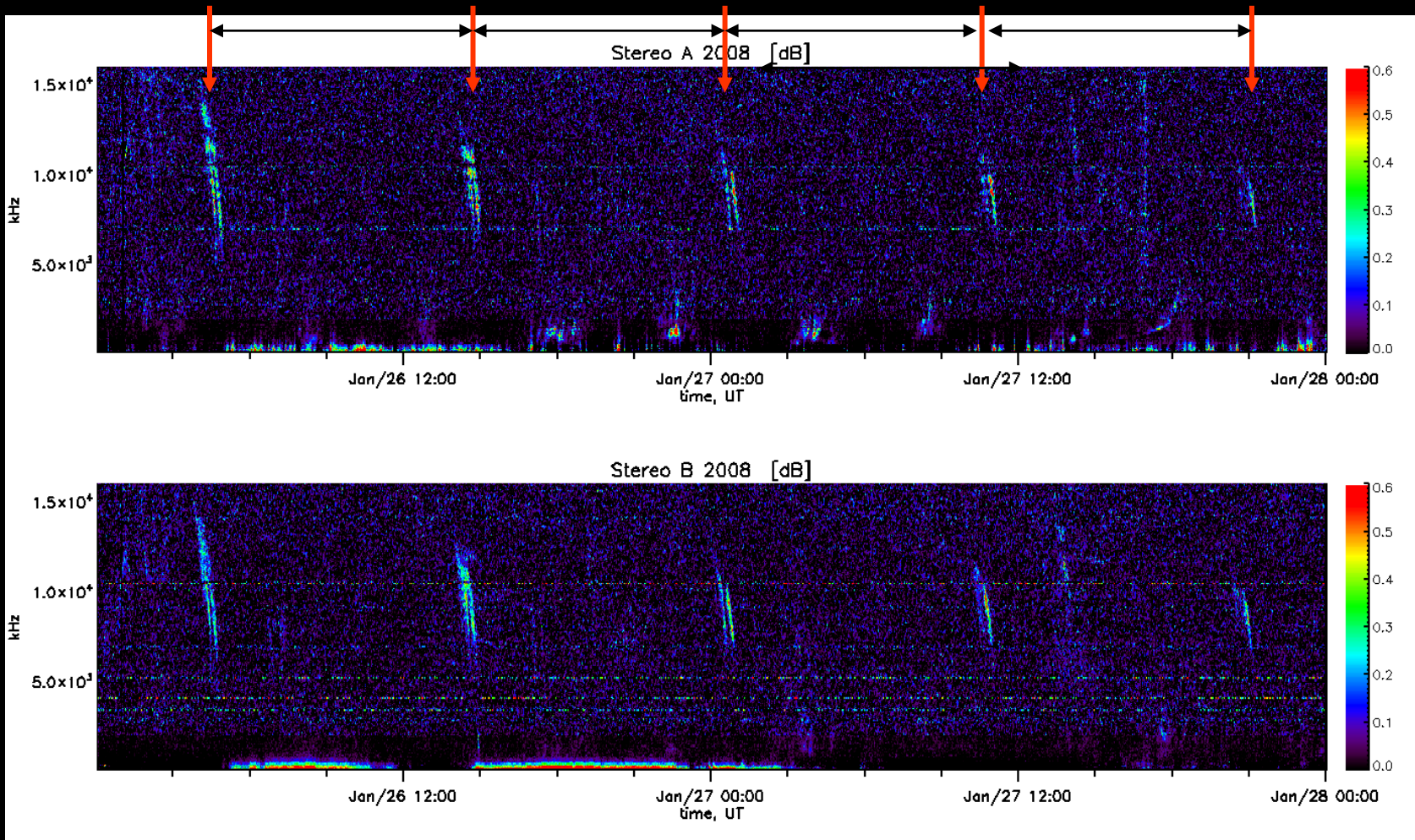


Adapted from
Kaiser et al., 2000



Rheometrie-Messungen
im Wassertank
zur Bestimmung der
effektiven Antennenvektoren
Nähtere Details siehe
„Radio Antenna Calibration“
Führung heute abend)

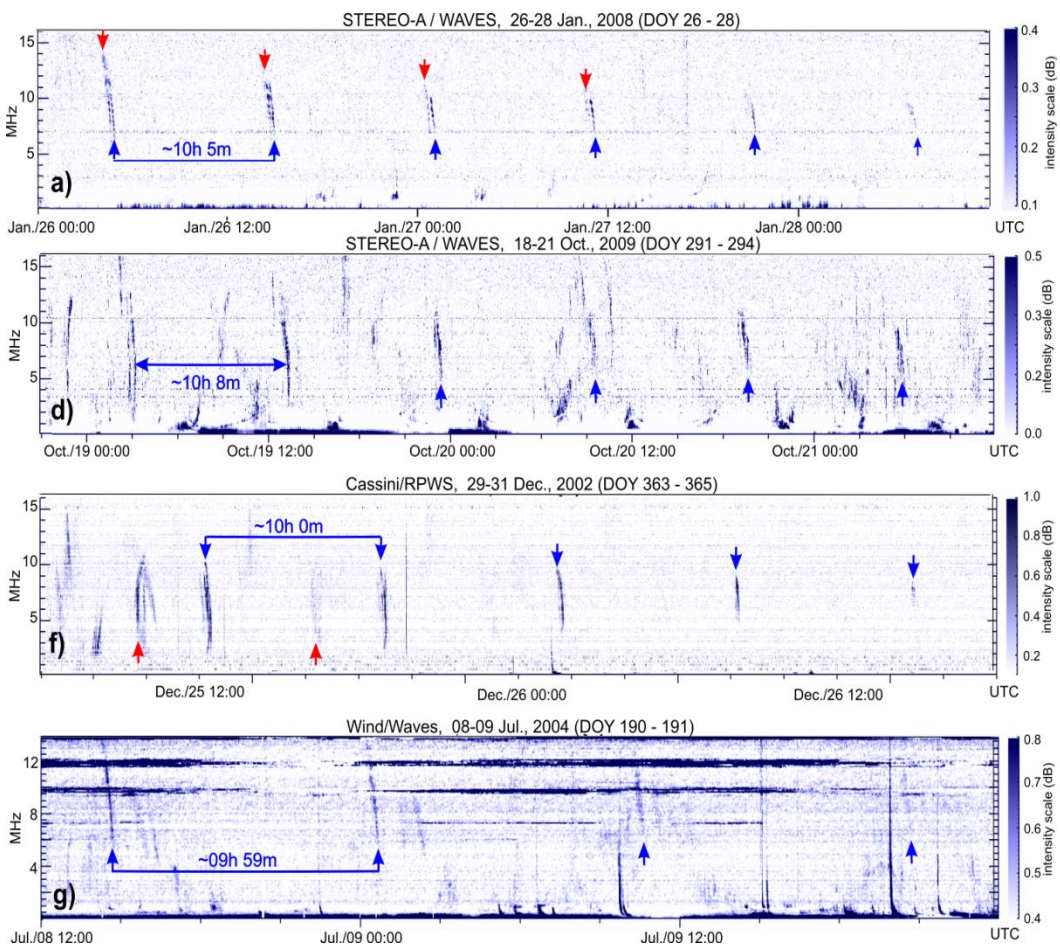




FWF Projekt:
Entdeckung einer neuen Radiokomponente von Jupiter (2010)

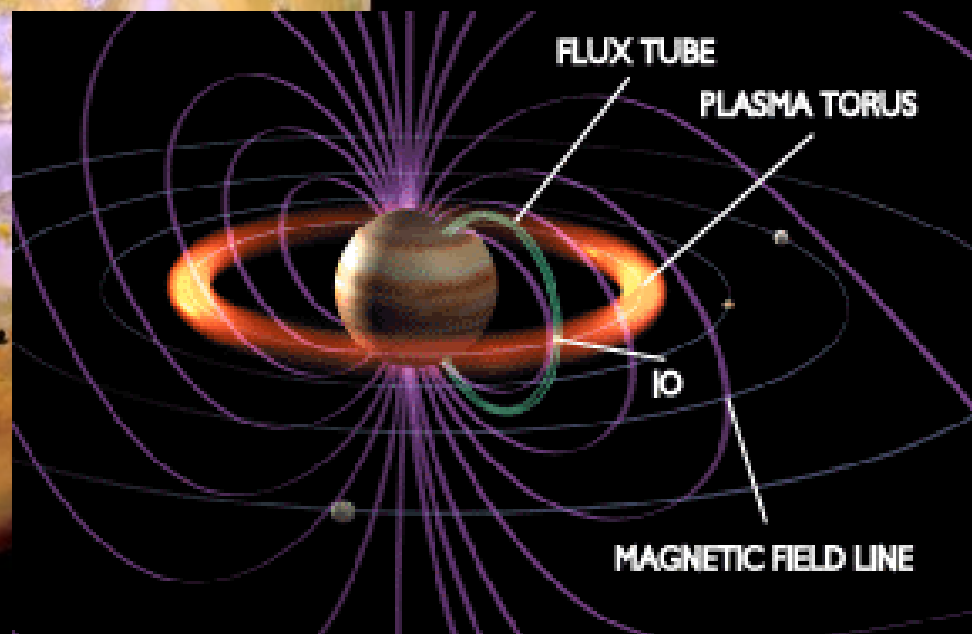
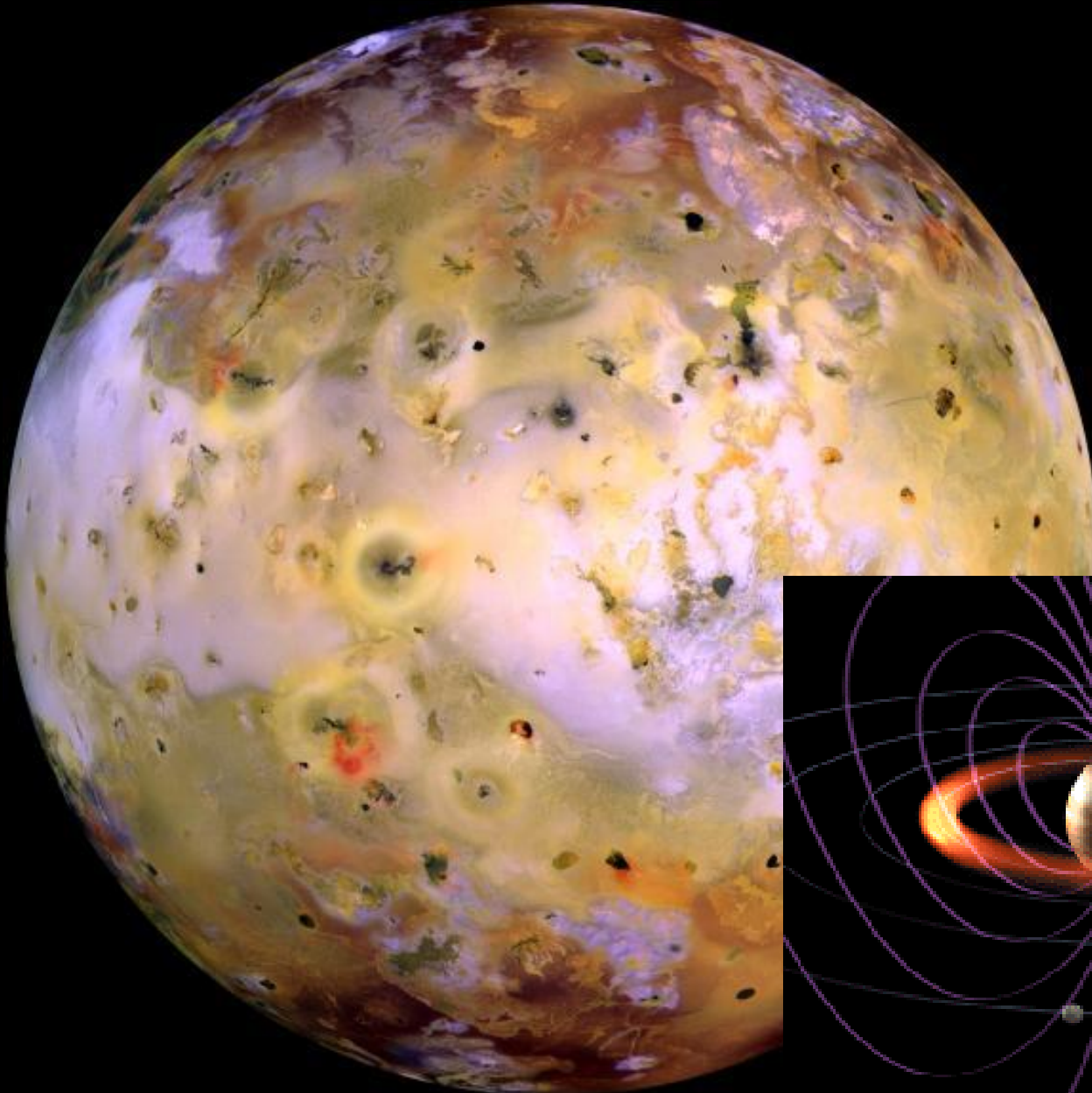
Periodische Bursts von non-Io DAM:

- Dekameter Frequenzbereich zwischen 5 und 12-16 MHz
- Durchschnittl. Periode ~1.5% länger als Jupiter Rotationsrate (System III, 9.925 h)
- Periodische Bursts sind non-Io Komponente von DAM und ihre Quellen **sub-corotieren** mit Jupiter
- Aktive Längen: 300°-60° CML(III).
- Keine Korrelation mit Io Position oder anderen Jupitermonden

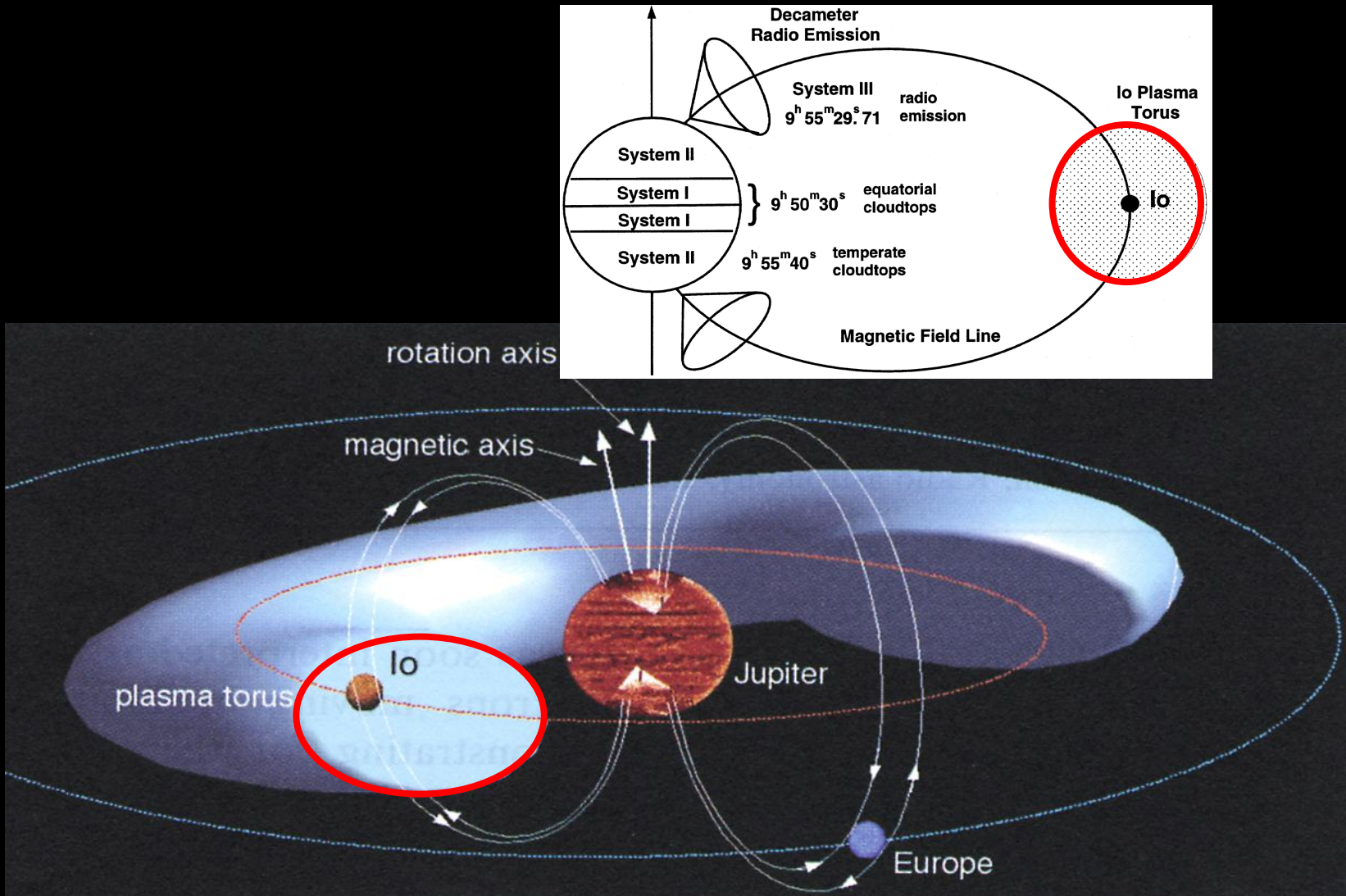


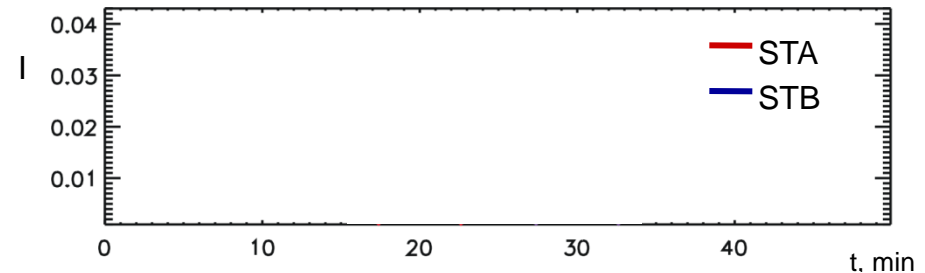
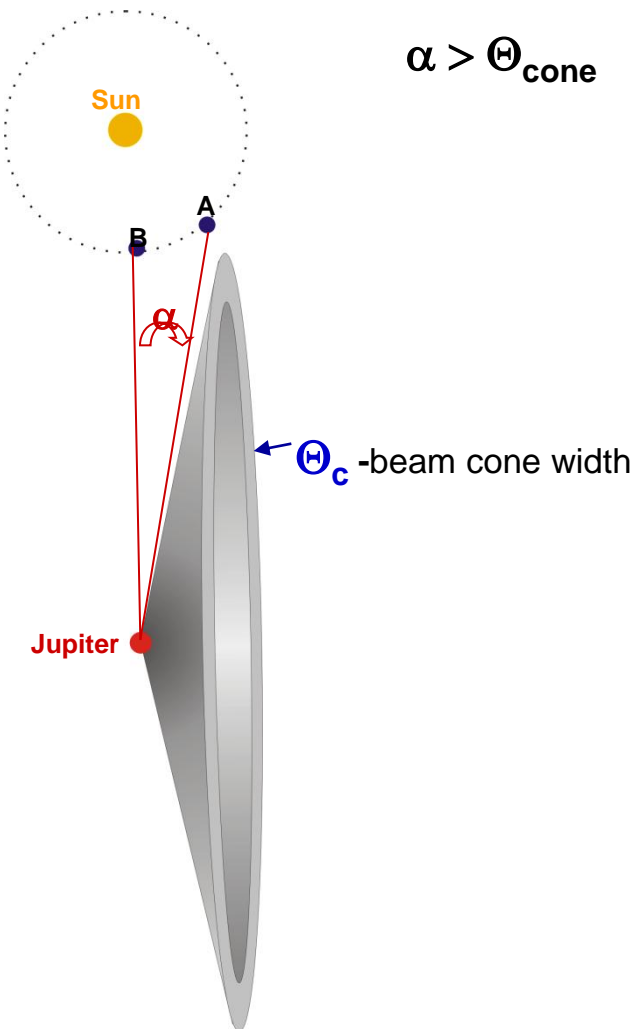
Panchenko, M., H.O. Rucker, M.L. Kaiser,
O.C. St. Cyr, J.-L. Bougeret, K. Goetz, S.D.
Bale: New periodicity in Jovian decametric
radio emission, Geophys. Res. Lett., **37**,
L05106, doi:10.1029/2010GL042488, 2010

Der Io - Torus

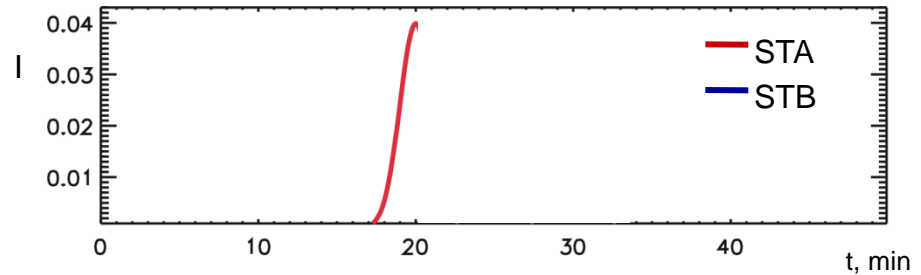
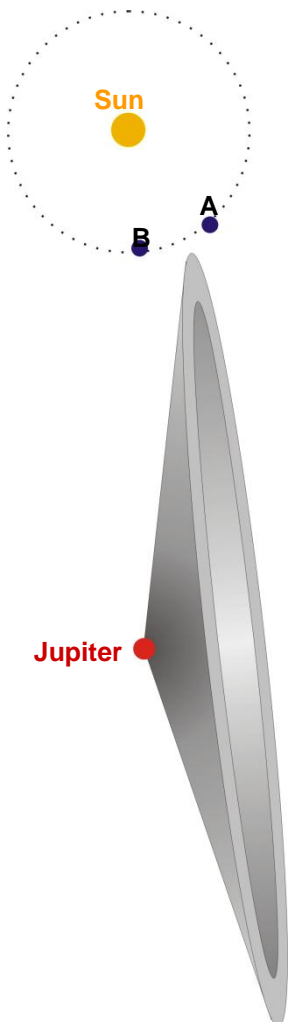


Der Io - Torus

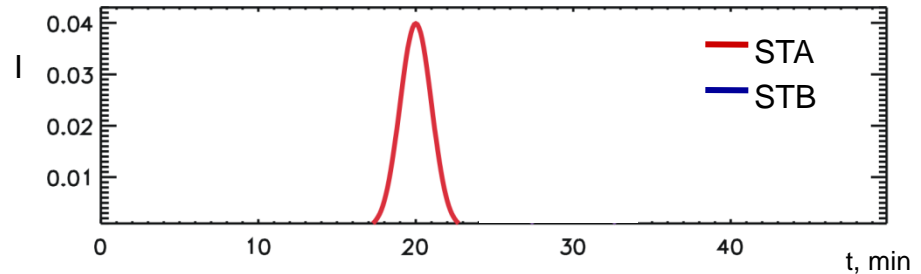
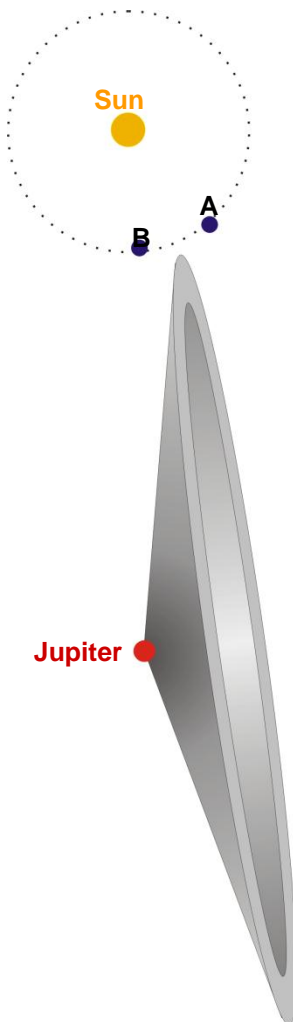




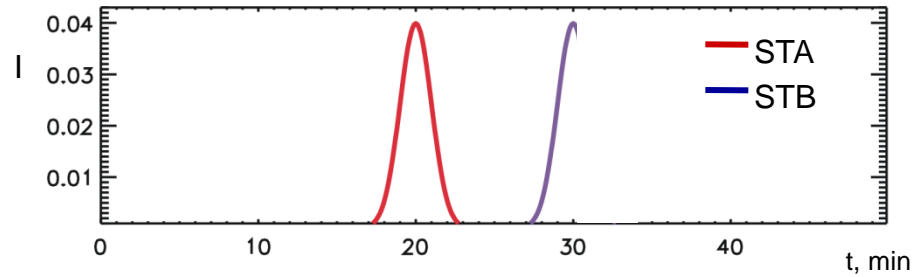
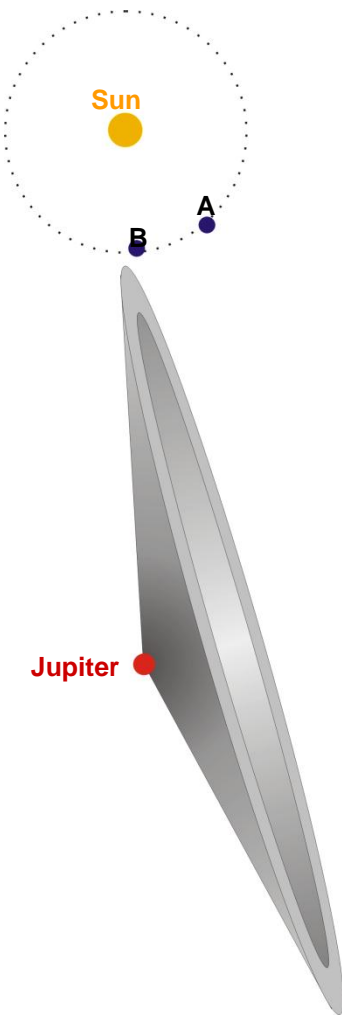
Schematic illustration of stereoscopic observation of the Jovian „arc-like“ emission by STEREO-A and -B spacecraft



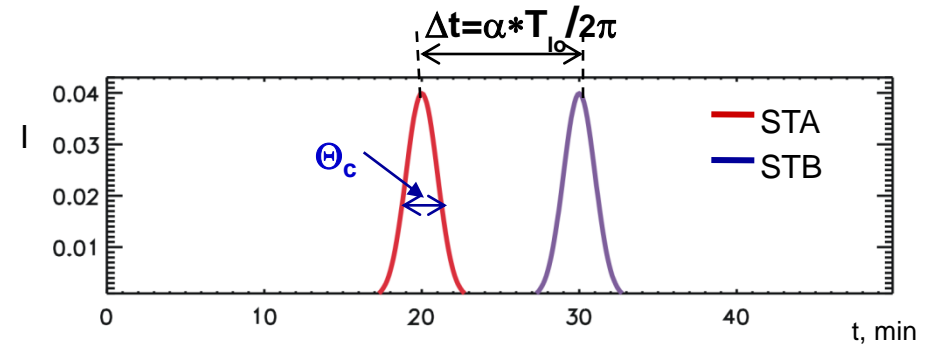
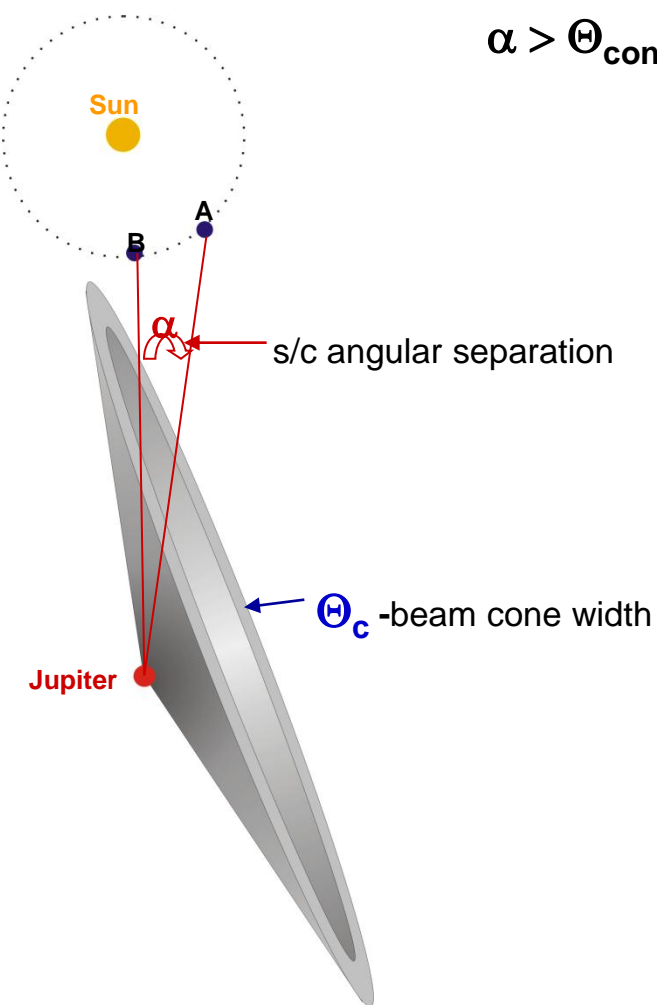
Schematic illustration of stereoscopic observation of the Jovian „arc-like“ emission by STEREO-A and -B spacecraft



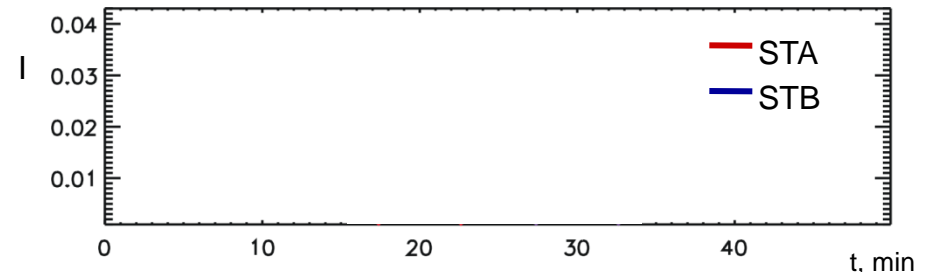
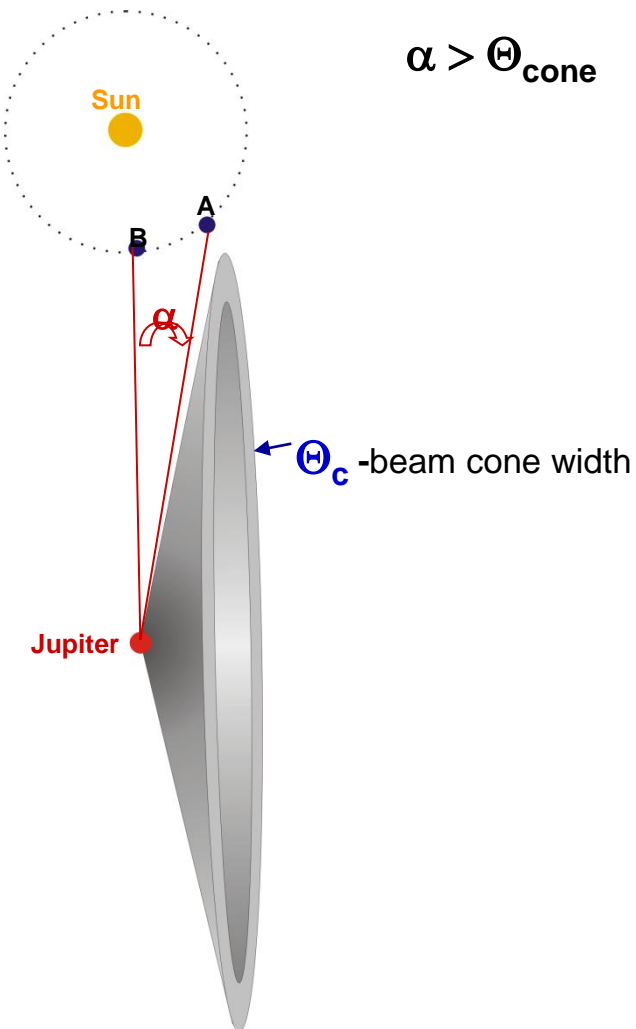
Schematic illustration of stereoscopic observation of the Jovian „arc-like“ emission by STEREO-A and -B spacecraft



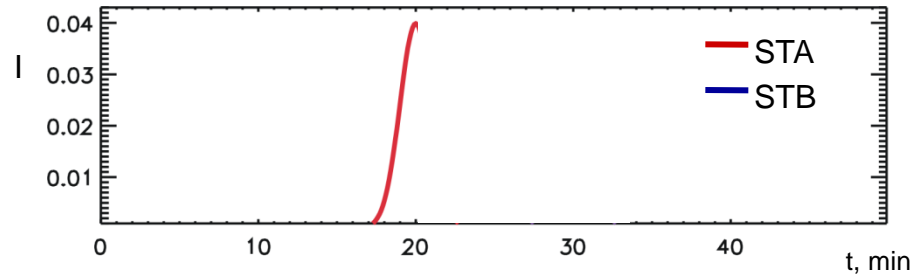
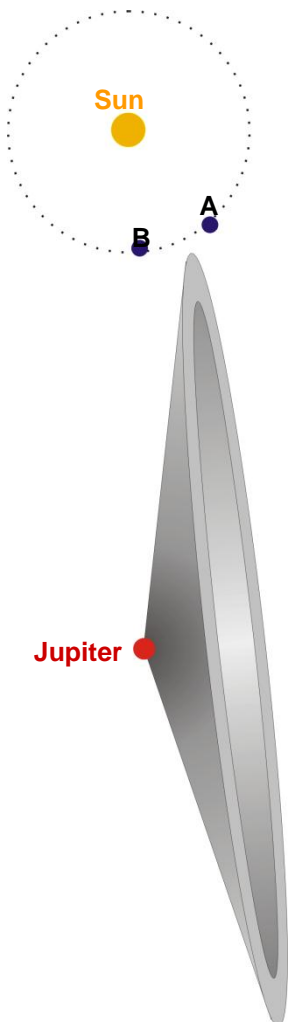
Schematic illustration of stereoscopic observation of the Jovian „arc-like“ emission by STEREO-A and -B spacecraft



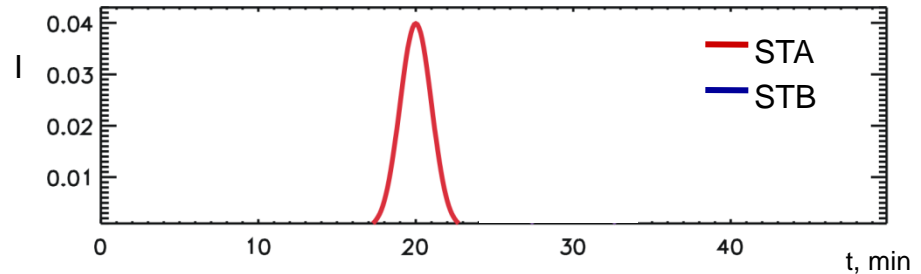
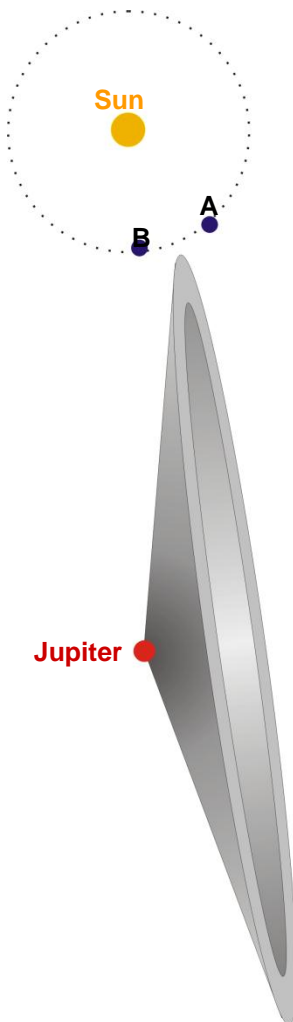
Schematic illustration of stereoscopic observation of the Jovian „arc-like“ emission by STEREO-A and -B spacecraft



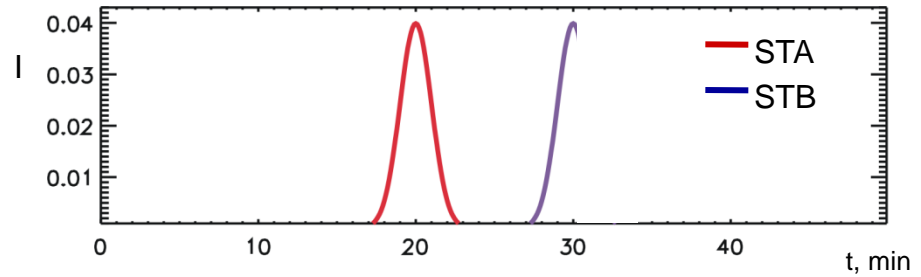
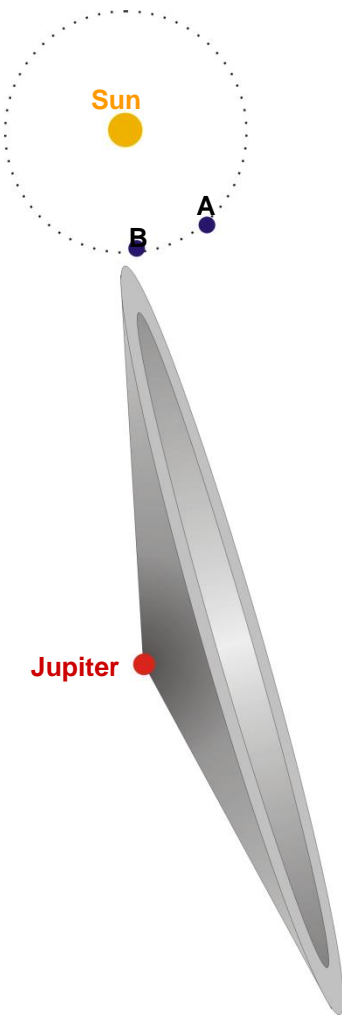
Schematic illustration of stereoscopic observation of the Jovian „arc-like“ emission by STEREO-A and -B spacecraft



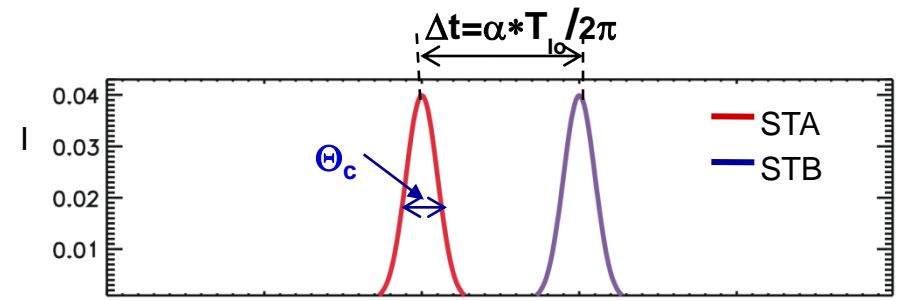
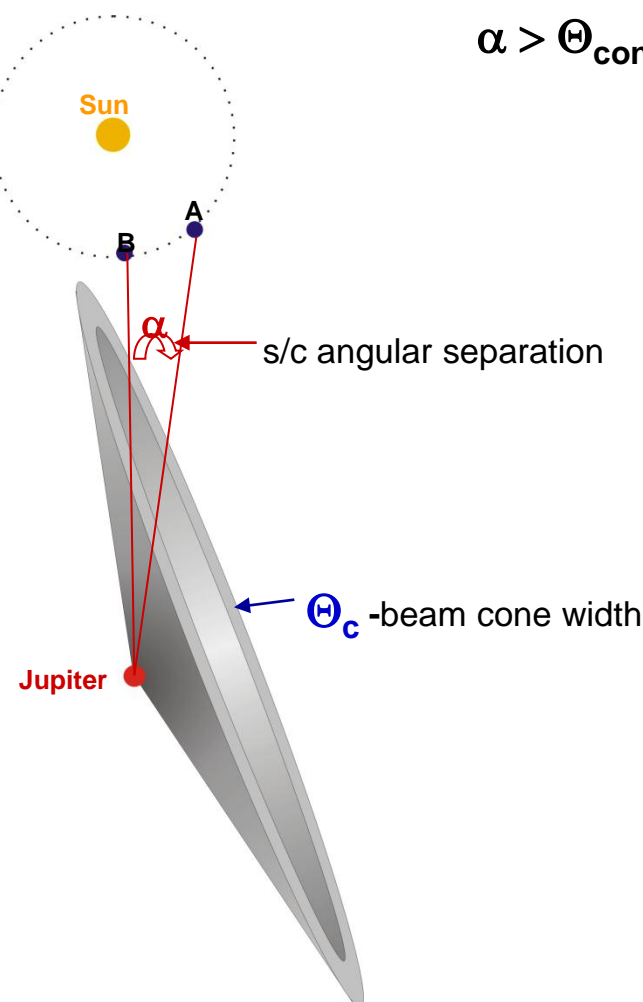
Schematic illustration of stereoscopic observation of the Jovian „arc-like“ emission by STEREO-A and -B spacecraft



Schematic illustration of stereoscopic observation of the Jovian „arc-like“ emission by STEREO-A and -B spacecraft



Schematic illustration of stereoscopic observation of the Jovian „arc-like“ emission by STEREO-A and -B spacecraft



Emission cone width:

Io-C: $1.07^\circ - 1.12^\circ$ (22 episodes)
Io-D: $0.96^\circ - 1.08^\circ$ (24 episodes)
non-Io: $1.11^\circ - 1.13^\circ$ (21 episodes)

(Panchenko et al., 2010)
(Zörwieg, Diploma thesis, 2011)

Schematic illustration of stereoscopic observation of the Jovian „arc-like“ emission by STEREO-A and -B spacecraft

Uranus

Voyager 2 Vorbeiflug Jan 24, 1986 (CLA 107,000 km)

Distanz zur Sonne:

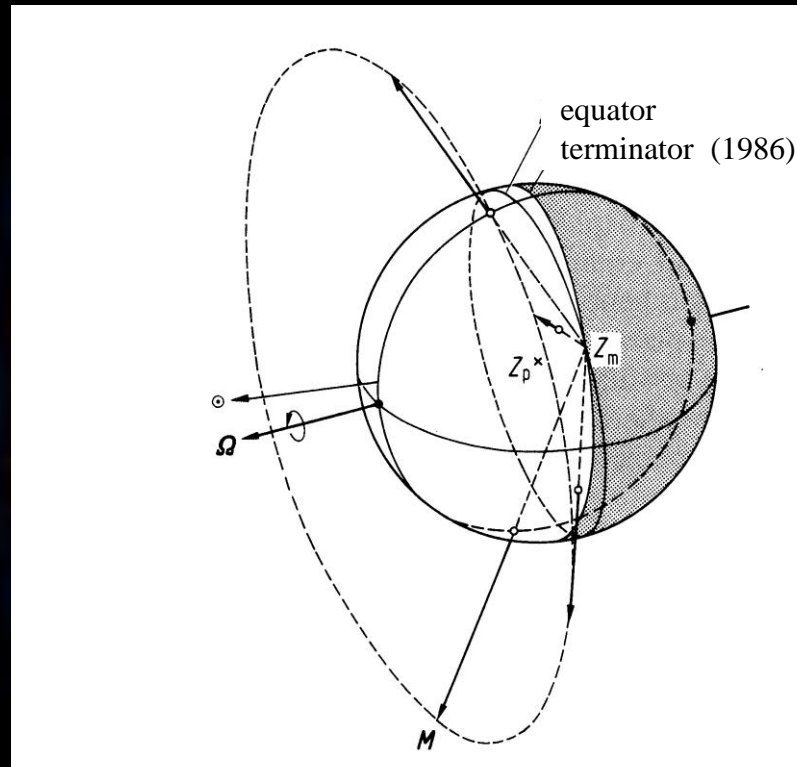
19.2 AU

Orbitalperiode:

84.011 Jahre

Äquator. Radius:

25,550 km (4.007 Re)

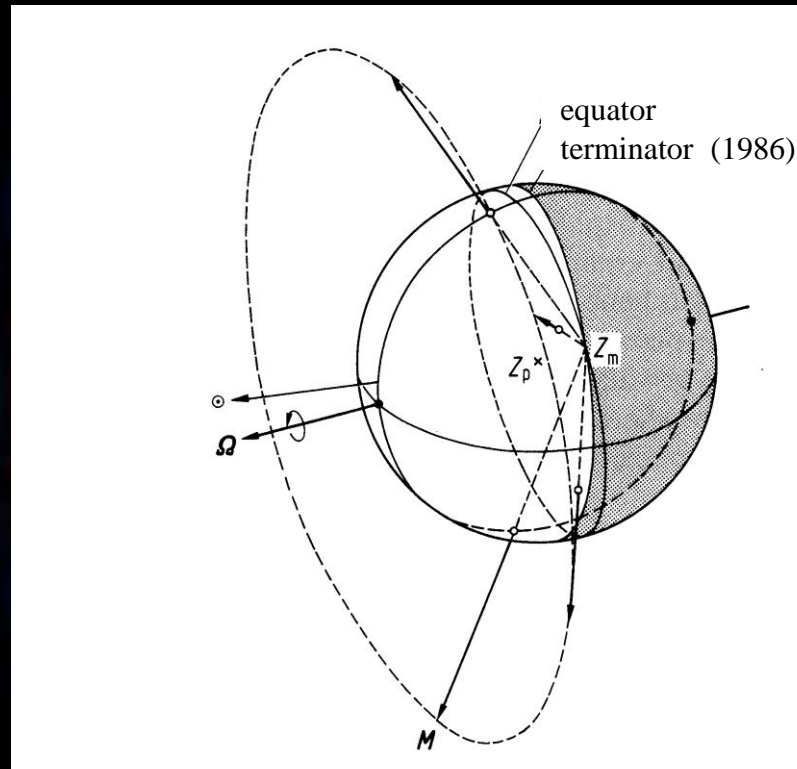


Uranus

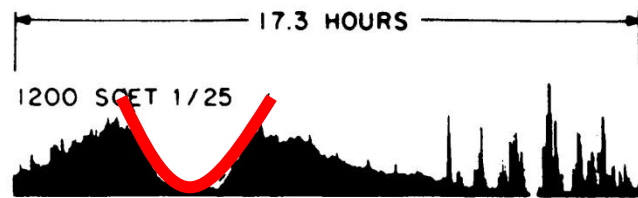
Voyager 2 Vorbeiflug Jan 24, 1986 (CLA 107,000 km)

Rotationsperiode:

17.24 +/- 0.01 hrs

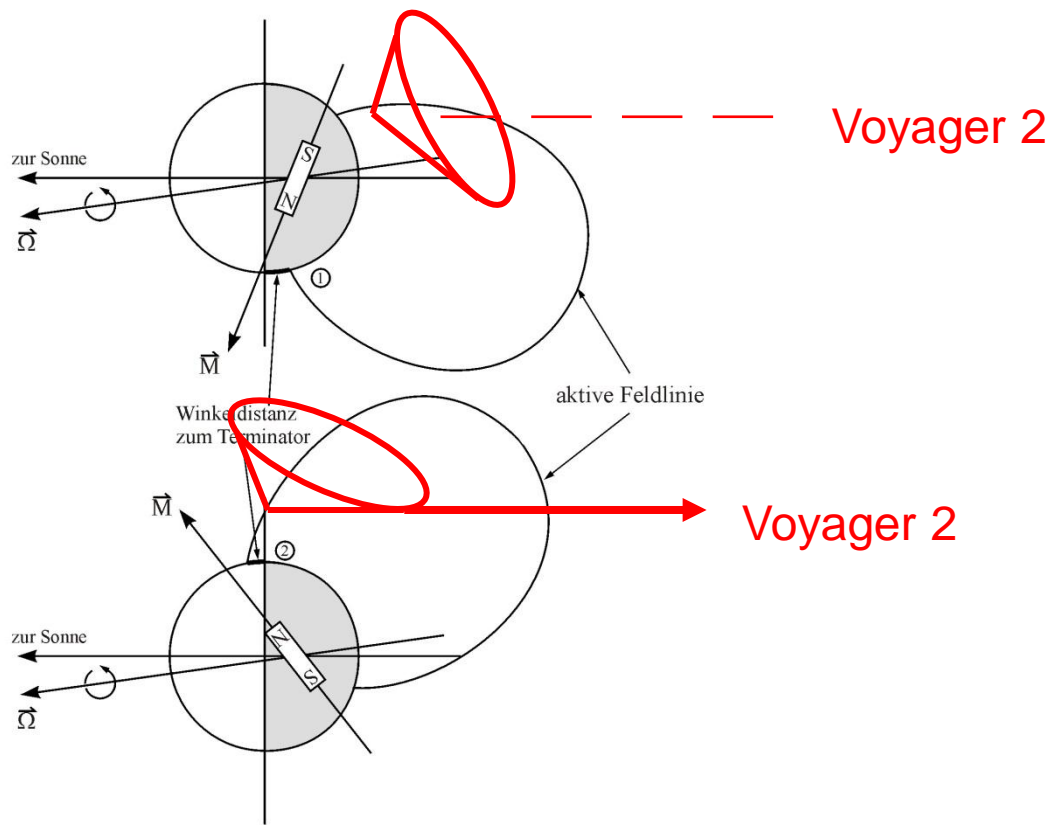


„Bite out“:



Determination of
Uranus **rotational**
period: ~17,3 hrs

Manifestation of
„hollow cone“-
theory of planetary
radio emission



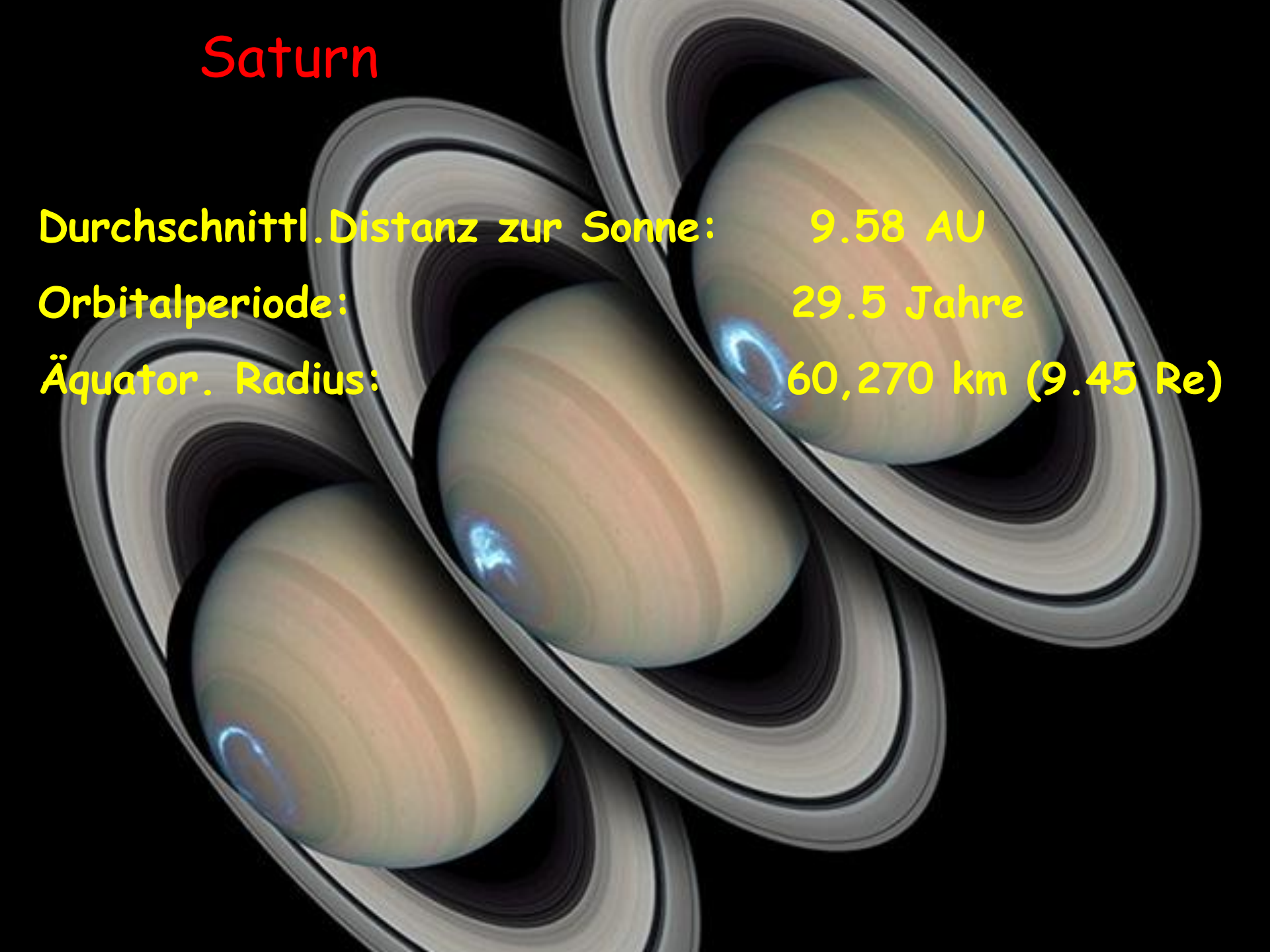


dzt. 778 Exoplaneten bekannt
(29.8.2012)

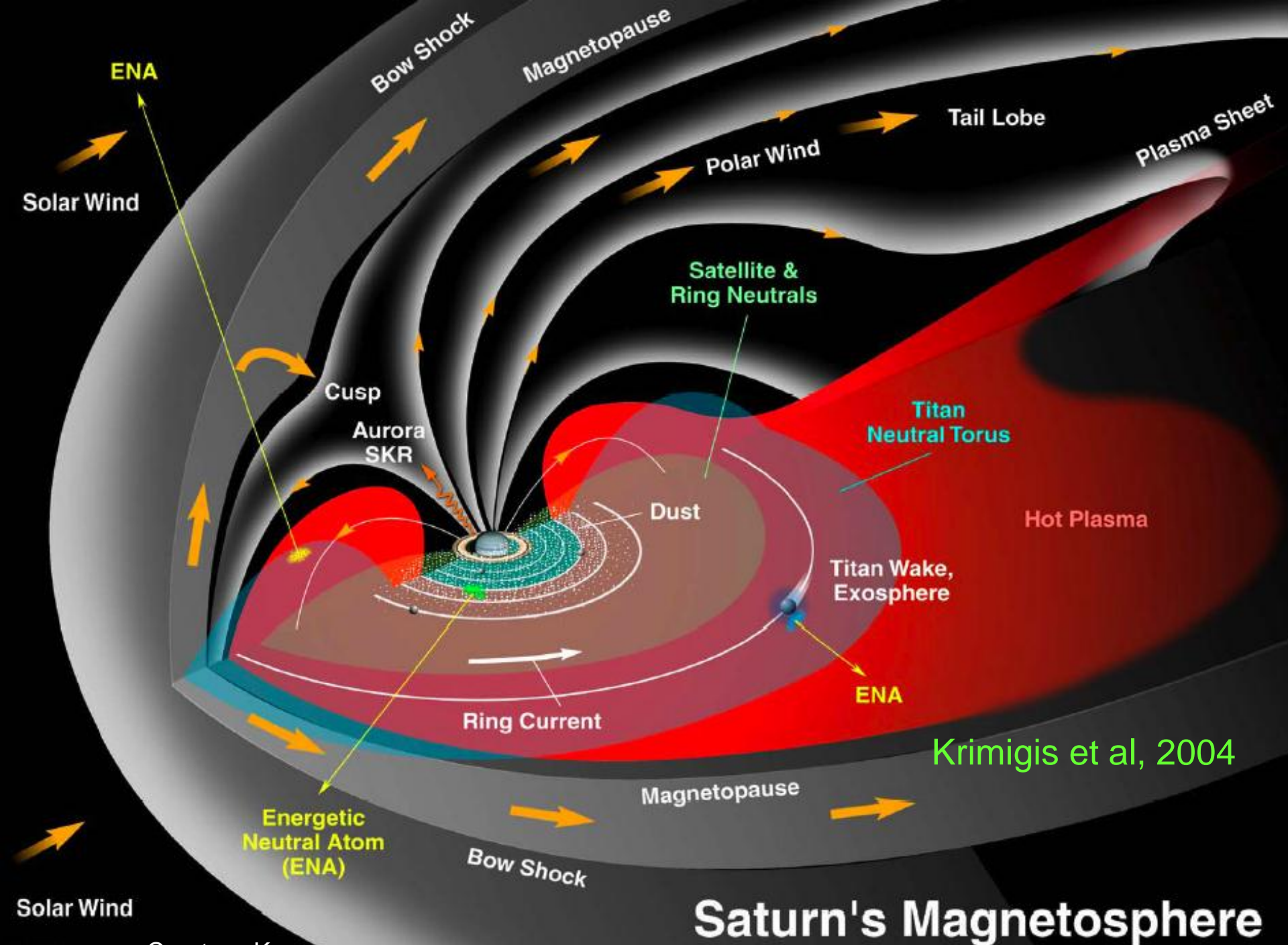


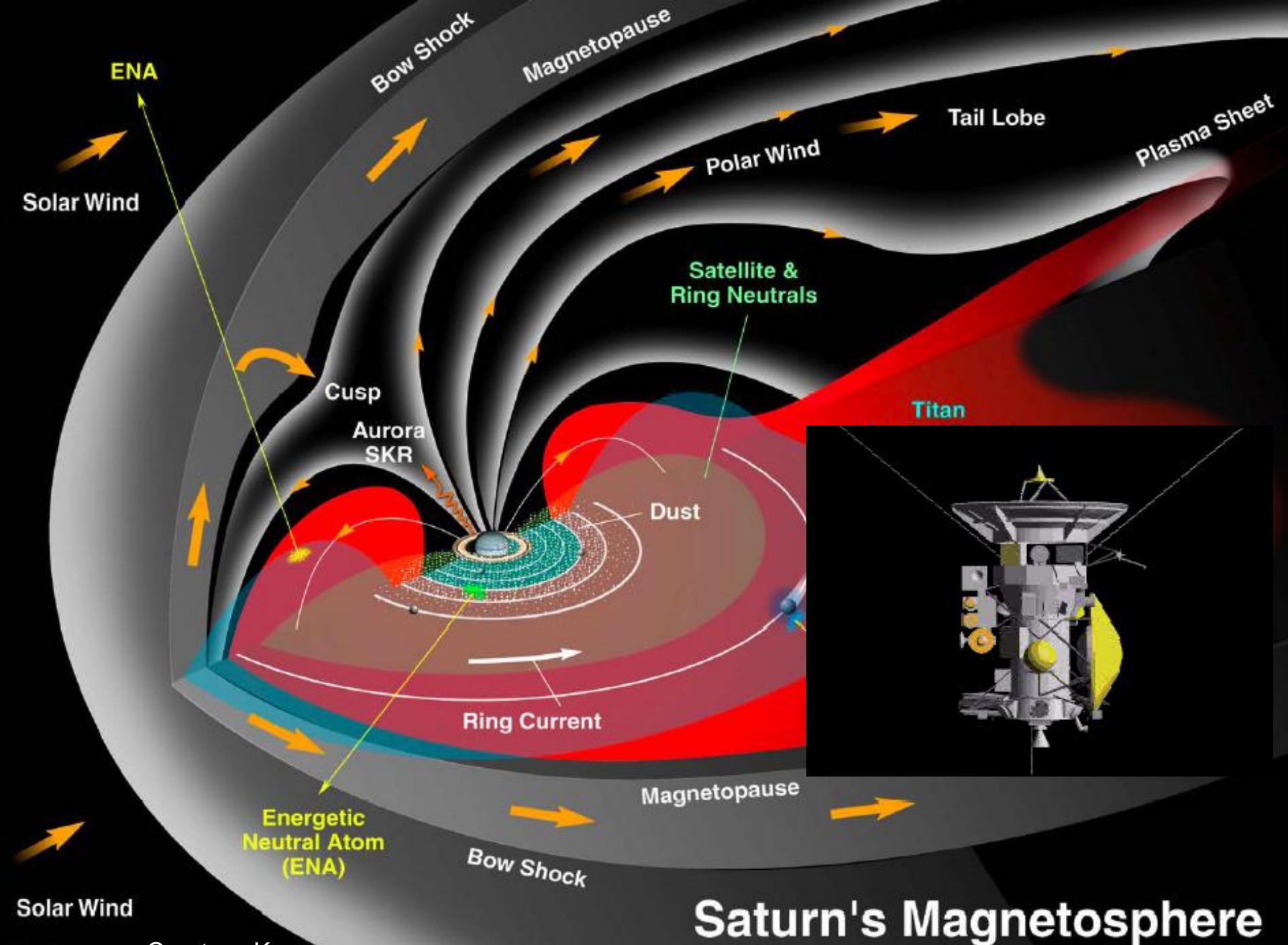
Forschungsarbeiten auf dem Gebiet der
exoplanetaren Wechselwirkung zwischen
Zentralstern und „Hot Jupiters“ :
Radiostrahlung von exoplanetaren Systemen

Saturn

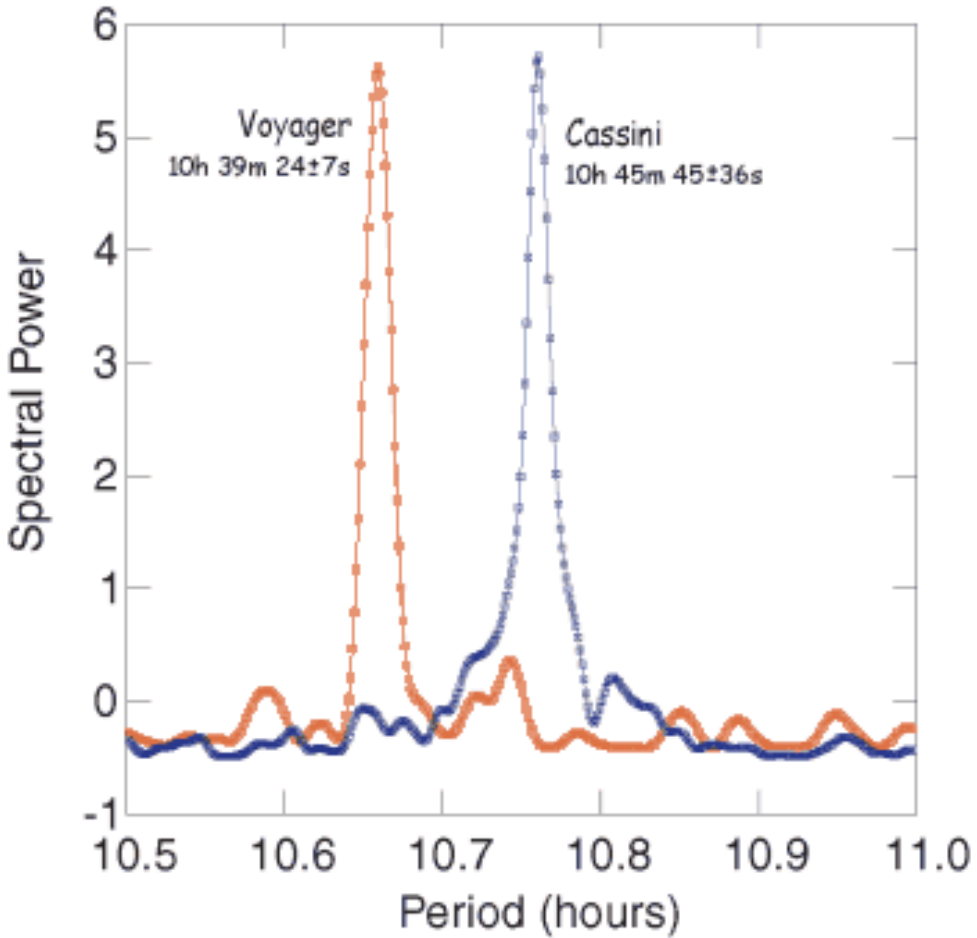


Durchschnittl. Distanz zur Sonne: 9.58 AU
Orbitalperiode: 29.5 Jahre
Äquator. Radius: 60,270 km (9.45 Re)





Modulation von Saturn Kilometric Radiation (SKR)
durch planetare Rotation



Nord -Süd Asymmetrie in Saturn's Radio Rotation

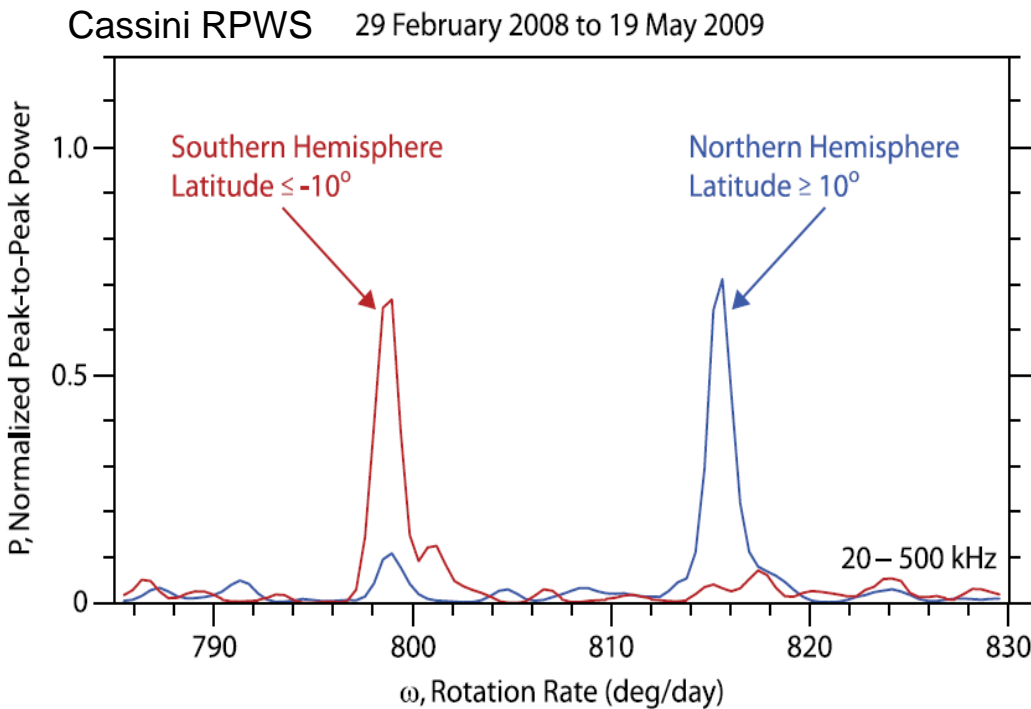


Figure 3. Rotational modulation spectrums averaged over the interval from 29 Feb. 2008 to 19 May 2009 where the spacecraft had a unusually long series of excursions to high northerly and high southerly latitudes.

10,6 hr

10,8 hr

$$\Omega$$



